

フレキシブルアームの制御

2011SE136 小島涼平

指導教員：陳幹

1 はじめに

フレキシブルアームは高度の精度も要求される状況において、例えば軽量化によってアームの剛性が低下しそれまで起きなかった振動が発生すると、性能低下につながってしまう。それは制御によって抑制する必要がある [1]。

制御対象はフレキシブルリンクモジュールを取り付けた SRV02 プラントである。本研究では論文 [1] に対して減衰振動を考慮したモデリングを行い、最適サーボシステムによって追従性能の改善を目的とする。

2 モデリング

2.1 モデリング

図 1 に制御対象である 1 自由度のフレキシブルリンクの俯瞰モデルを示す。制御対象はトルクを加えた時、根本のハブ (モータ) が θ だけ回転し、そこから先端部がばねの力のみによって α だけ回転する。

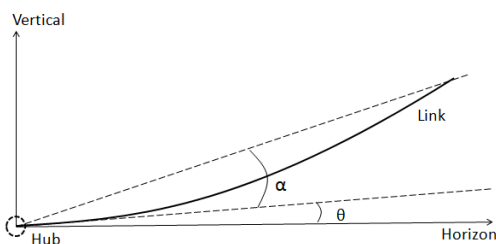


図 1 フレキシブルリンクの俯瞰モデル

モータの仕様書と論文 [2] より、入力電圧 V と負荷出力トルク τ の関係は次式になる。変数の詳細は表 1 に示す。

$$\tau = \frac{\eta_m \eta_g K_t K_g (V - K_g K_m \dot{\theta})}{R_m} \quad (1)$$

制御対象の運動エネルギー T はハブとリンクに存在し、ポテンシャルエネルギー U はばねのみに存在している。またラグランジアン L は以下となる。

$$T = \frac{1}{2} J_{eq} \dot{\theta}^2 + \frac{1}{2} J_{Link} (\dot{\theta} + \dot{\alpha})^2 \quad (2)$$

$$U = \frac{1}{2} K_{Stiff} \alpha^2 \quad (3)$$

$$L = \frac{1}{2} J_{eq} \dot{\theta}^2 + \frac{1}{2} J_{Link} (\dot{\theta} + \dot{\alpha})^2 - \frac{1}{2} K_{Stiff} \alpha^2 \quad (4)$$

これより θ, α を一般化座標として、オイラー・ラグランジュの運動方程式を得る。ここで $-B_{eq} \dot{\theta}$ は摩擦についての項であり、 $-c\dot{\alpha}$ は減衰振動についての項 (減衰項) である。

$$\frac{\delta}{\delta t} \left(\frac{\delta L}{\delta \dot{\theta}} \right) - \frac{\delta L}{\delta \theta} = \tau - B_{eq} \dot{\theta} \quad (5)$$

$$\frac{\delta}{\delta t} \left(\frac{\delta L}{\delta \dot{\alpha}} \right) - \frac{\delta L}{\delta \alpha} = -c\dot{\alpha} \quad (6)$$

2.2 減衰振動

本研究では制御対象の減衰振動を考慮する。論文 [2] より剛性 K_{Stiff} 、減衰比 ζ (臨界減衰係数 c_c 分の減衰係数 c) から減衰係数 c は以下となる。

$$K_{Stiff} = \omega_d^2 J_{Link} = 1.722 \quad (7)$$

$$\zeta = \frac{c}{c_c} = \frac{c}{2\sqrt{J_{Link} K_{Stiff}}}$$

$$c = 0.158 \quad (8)$$

表 1 制御対象のパラメータ

記号	詳細	値
η_g	ギヤボックス効率	0.9
η_m	モータ効率	0.69
K_t	モータトルク定数	0.00767[Nm/A]
K_g	システムギヤ比	70
J_{eq}	ハブでの等価慣性モーメント	0.002[kgm ²]
R_m	電機子抵抗	2.6[Ω]
B_{eq}	等価粘性減衰係数	0.004[Nm/(rad/s)]
K_m	逆起電力係数	0.00767[V/(rad/s)]
L	フレキシブルリンク長さ	0.43[m]
M	フレキシブルリンク質量	0.065[kg]
ω_d	減衰固有角振動数	20.735
ζ	減衰比	0.9517
J_{Link}	リンクの慣性モーメント	0.004
K_{Stiff}	剛性	1.722

2.3 制御対象の状態空間表現

式 (1),(5),(6) からシステムの状態空間表現は次式となる。ただし出力は θ, α である。

$$\dot{x} = \begin{bmatrix} 0 & 0 & 1 & 0 \\ 0 & 0 & 0 & 1 \\ 0 & \frac{K_{Stiff}}{J_{eq}} & -S & \frac{c}{J_{eq}} \\ 0 & -\frac{K_{Stiff}(J_{eq}+J_{Link})}{J_{eq}J_{Link}} & S & -\frac{c(J_{eq}+J_{Link})}{J_{eq}J_{Link}} \end{bmatrix} x$$

$$+ \begin{bmatrix} 0 \\ 0 \\ \frac{\eta_m \eta_g K_t K_g}{J_{eq} R_m} \\ -\frac{\eta_m \eta_g K_t K_g}{J_{eq} R_m} \end{bmatrix} u \quad (9)$$

$$y = [1 \quad 1 \quad 0 \quad 0] x \quad (10)$$

ここでシステムの状態ベクトル x 、制御入力 u 、 $\dot{\theta}$ の係数 S は以下である。

$$x = [\theta \quad \alpha \quad \dot{\theta} \quad \dot{\alpha}]^T$$

$$u = V$$

$$S = \frac{\eta_m \eta_g K_t K_g^2 K_m + B_{eq} R_m}{J_{eq} R_m}$$

3 コントローラ設計

3.1 最適サーボシステムのコントローラ設計

最適サーボシステム [3](詳しくは [4]) を設計するために、式 (9),(10) を状態方程式

$$\begin{cases} \dot{x}(t) = Ax(t) + Bu(t) \\ y(t) = Cx(t) \end{cases} \quad (11)$$

とする。ここで定常値 $x_\infty, u_\infty, w_\infty$ からの変動を

$$\tilde{x}_e = \begin{bmatrix} \tilde{x}(t) \\ \tilde{w}(t) \end{bmatrix} = \begin{bmatrix} x(t) \\ w(t) \end{bmatrix} - \begin{bmatrix} x_\infty \\ w_\infty \end{bmatrix} \quad (12)$$

$$\tilde{u}(t) = u(t) - u_\infty \quad (13)$$

と定義すると、以下の拡大偏差システムを得る。

$$\begin{cases} \dot{\tilde{x}}_e(t) = A_e \tilde{x}_e(t) + B_e \tilde{u}(t) \\ e(t) = C_e \tilde{x}_e(t) \end{cases} \quad (14)$$

$$A_e = \begin{bmatrix} A & O \\ -C & O \end{bmatrix}, B_e = \begin{bmatrix} B \\ O \end{bmatrix}, C_e = [-C \quad O]$$

次に評価関数

$$J = \int_0^\infty (\tilde{x}_e(t)^T Q_e \tilde{x}_e(t) + \tilde{u}(t)^T R_e \tilde{u}(t)) dt \quad (15)$$

$$Q_e = \begin{bmatrix} C^T Q_{11} C & O \\ O & Q_{22} \end{bmatrix}$$

を最小化する以下のコントローラを得る。

$$\tilde{u}(t) = K_e \tilde{x}_e(t), \quad K_e = [K \quad G] = -R_e^{-1} B_e^T P_e \quad (16)$$

$$\begin{aligned} u(t) &= Kx(t) + G \int_0^t e(t) dt \\ &+ [-K + 2GP_{22}^{-1} P_{12}^T \quad I] \begin{bmatrix} A & B \\ C & O \end{bmatrix}^{-1} \begin{bmatrix} O \\ I \end{bmatrix} y^{ref}(t) \\ &- 2GP_{22}^{-1} P_{12}^T x_0 \\ K &= -R_e^{-1} B^T P_{11}, G = -R_e^{-1} B^T P_{12} \end{aligned} \quad (17)$$

4 シミュレーションと実験

4.1 重みの設定

評価関数 (15) について定義 (12) から

$$J = \int_0^\infty (Q_{11} e(t)^2 + Q_{22} \tilde{w}(t)^2 + R_e \tilde{u}(t)^2) dt \quad (18)$$

となる。よって重みは以下を考慮すればよい。

$$Q_{11} > 0, \quad Q_{22} > 0, \quad R_e > 0 \quad (19)$$

4.2 追従性能の確認

重みを $Q_{11} = 20, Q_{22} = 700, R_e = 1$ とするとゲインは

$$K_e = [-8.9701 \quad -4.5691 \quad -0.57455 \quad -0.40571 \quad 26.458]$$

となる。減衰項の影響と追従性能の確認のためにシミュレーション及び実験を行った。その減衰項の影響の比較を図 2 に示す。図 2 は θ に対する PID コントローラによる、減衰項を含むモデルと含まないモデルの比較である。ただし目標値を $\pi/2$ として α はコントロールしていない。2 つのモデルの波形はほぼ一致している。

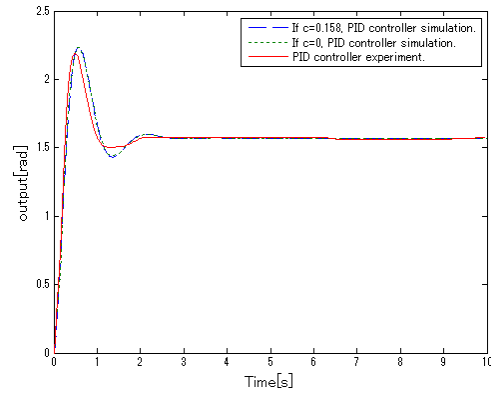


図 2 減衰項の影響の比較

次に異なるコントローラによる追従性能の比較を図 3 に示す。図 3 は本研究と論文 [1] のコントローラでの追従性能の比較であり、目標値は $\pi/4$ とした。本研究のコントローラを使用した方が速く目標値に到達し安定している。

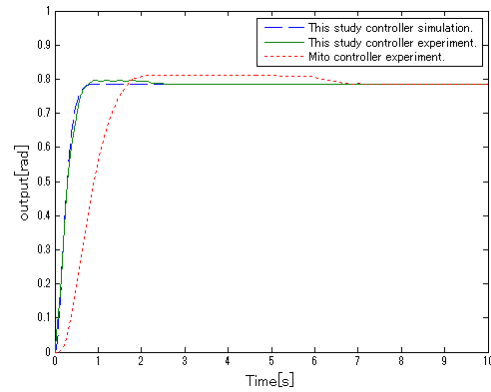


図 3 異なるコントローラによる追従性能の比較

5 終わりに

本研究では減衰振動を考慮したモデリングと、最適サーボシステムでのコントローラ設計を行った。図 3 から、論文 [1] と比べ追従性能は改善された。しかし図 2 より、2 つの波形に違いがなく、減衰項による影響はほとんどない。よってこの制御対象に対して、減衰振動に関する項は無視できる。

参考文献

- [1] 水戸健詞:最適レギュレータによるフレキシブルアームの制振制御, 南山大学数理工学部 2010 年度卒業論文 (2010).
- [2] 松井祐介, 三輪有弘:フレキシブルアームに対する H_2 制御によるロバスト安定化, 南山大学情報理工学部 2012 年度卒業論文 (2012).
- [3] 川田昌克:MATLAB/Simulink による現代制御入門, 森北出版, pp.169-174(2011).
- [4] 池田, 須田:積分型最適サーボ系の構成, 計測自動制御学会, Vol.24, No.1, pp.40-46(1988).